

Лист УМД 1989 г.

ДОМАШНЕЕ ЗАДАНИЕ

И методические рекомендации по самостоятельной работе
для его выполнения

по курсу

ТЕОРИЯ ЭЛЕКТРИЧЕСКОЙ СВЯЗИ

Составитель Санников В.Л.

1. ИСХОДНЫЕ ПРЕДПОСЫЛКИ

Непрерывное сообщение $a(t)$, передаваемое на выходе источника (ИС), представляет собой реализацию стационарного гауссовского случайного процесса с нулевыми средним и известной функцией корреляции $B_a(\tau)$. Сообщение передается в цифровой форме по смешанной системе связи.

В передатчике устройстве (ПУ) системы на основе аналого-цифрового преобразования (АЦП) сообщение отображается в сигнал импульсно-кодовой модуляции (ИМК), который модулирует один из информационных параметров гармонического переносчика. В результате формируется линейный сигнал $S(t)$ дискретной амплитудной (ДАМ), формуруется частотной (ДЧМ) или дискретной относительной фазовой модуляции (ДОФМ).

Сигнал дискретной модуляции передается по узкополосному гауссовскому непрерывному каналу связи (НКС).

В приемном устройстве (ПУ) системы принятое смесь сигнала и шума $Z(t) = S(t) + N(t)$ подвергается когерентной (КП) или некогерентной (НП) обработке с последующим оптимальным принятием решения методом однократного отсчета. Прием сигнала ДОФМ осуществляется либо методом сравнения фаз (ФС), либо методом сравнения полидрностей (СП).

Восстановление оценки $\hat{a}(t)$ сообщения по принятому с искажениями сигналу ИМК осуществляется на основе цифрованалогового преобразования (ЦАП) с последующей низкочастотной фильтрацией (ФНЧ).

Исходные данные для расчетов приведены в табл. 1, где $\rho = \sigma_a^2 / \sigma_z^2$ - мощность (дисперсия) сообщения, ρ - показатель затухания функции корреляции, L - число уровней квантования, σ_a^2 - постоянная энергетического спектра шума НКС, k^2 - отношение сигнал-шум (ОШП) по мощности на входе детектора, $\sigma_{\text{дет}}$ - допустимая относительная среднеквадратическая погрешность (СКП) восстановленного сообщения.

Требуется:

1.1. Нарисовать структурную схему смешанной системы связи и нарисовать сигналы в различных ее звеньях;

1.2. Рассчитать: спектр плотности мощности $G_a(f)$ сообщения; энергетическую ширину спектра Δf_d и интервал корреляции T_k сообщения. Построить графики $B_a(\tau)$ и $G_a(f)$;

1.3. Рассчитать: СКП фильтрации $\sigma_{\text{ф}}^2$ сообщения; мощность $P_x = \sigma_x^2$ отклика ФНЧ; частоту f_d и интервал T временной

Издание утверждено на заседании кафедры ТЭС 7.02.89 г.
Протокол № 11.

дискретизации отклика ФНЧ. Считать, что исходное сообщение воздействует на идеальный ФНЧ с частотой среза

$$f_{\text{ср}} = \Delta f_2 = f_2 - f_1 = f_2, \quad (f_1 = 0);$$

1.4. Рассчитать: интервал квантования Δq , пороги квантования k_2 , $e = 0, L-1$, и СКП квантования $\frac{\sigma_q^2}{\sigma_s^2}$ квантованное распределение вероятностей P_k , $e = 0, L-1$, и интегральную вероятность $\{x_k^2\}$; энтропия H , производительность последовательности χ квантованной последовательности. В расчетах принять квантование с равномерным шагом;

1.5. Закодировать L -кратку последовательности $\{x_k^2\}$ двоичным деизбыточным блочным кодом $\{b_k^2\}$; выписать все кодовые комбинации кода и построить таблицу кодовых расстояний $\{d_{km}\}$ кода.

Рассчитать: априорные вероятности $P(0)$ и $P(1)$ передачи нуля и единицы по двоичному ДКС; ширину спектра $\Delta f_{\text{ДКС}}$ сигнала ИКМ; длина и определить ширину его спектра Δf_3 ;

1.7. Рассчитать: приходящуюся в среднем на один двоичный символ (бит) мощность P_3 и амплитуду U_m сигнала дискретной модуляции, необходимую для обеспечения требуемого ОСЛ k_z ; пропуск-вероятности (ФПР) мгновенных значений и отпавшей узкополосной теплосовой помехи (УТП), а также ФПР мгновенных значений и отпавшей суммы гармонического сигнала и УТП;

1.8. Изобразить схему приема сигнала дискретной модуляции (это можно сделать сразу при построении структурной схемы всей системы).

Рассчитать: среднюю вероятность ошибки $P_{\text{ош}}$ и скорость K_z передачи информации по двоичному симметричному ДКС; показать эффективность η передачи сигнала дискретной модуляции по НКС; 1.9. Рассчитать: скорость передачи информации K_z по L -ичному ДКС и относительные потери в скорости передачи информации; СКП шума передачи $\frac{\sigma_{\text{ш}}^2}{\sigma_s^2}$ и относительную суммарную СКП δ_z во-от-отделения непрерывного сообщения.

Указать пути уменьшения величины δ_z , если окажется, что $\delta_z > \delta_{\text{доп}}$.

Таблица I

№ п/п	ИС; АПЧ: $L=8$		способ-перед.	ЦДУ		НКС $G_0 [\text{дт.с}]$	ПРУ		ЦАП; ПС $\delta^{\text{доп}}$	Функция корреляции сообщения $b_2(\tau), \tau [\text{мс}]$
	$\beta [\text{с}^{-1}]$	$\alpha [\text{с}^{-1}]$		частота [МГц]	f_0		f_1	k^2		
1	1,0	13	АМ	1,0		0,0001	14,5	КП	0,10	$P_2 \cdot e^{-\beta \tau }, -\infty < \tau < \infty, \beta = 2 \cdot 10^3 [\text{с}^{-1}]$
2	1,5	14	ЧМ	1,2	1,25	0,0010	8,5	НП	0,12	
3	2,0	15	СФМ	1,2		0,0028	4,3	СФ	0,14	
4	2,5	16	АМ	1,3		0,0002	15,0	НП	0,16	
5	3,0	17	ЧМ	1,4	1,45	0,0011	9,0	КП	0,18	
6	3,5	18	СФМ	1,5		0,0029	5,2	СП	0,20	
7	1,2	29	АМ	1,6		0,0003	15,5	КП	0,09	$P_2 (H\beta \cdot \tau) \cdot e^{-\beta \tau }, \beta = 2 \cdot 10^3$
8	1,7	30	ЧМ	1,7	1,75	0,0012	9,5	НП	0,11	
9	2,2	31	СФМ	1,8		0,0030	4,6	СФ	0,13	
10	2,7	32	АМ	1,9		0,0004	16,0	НП	0,15	
11	3,2	33	ЧМ	2,0	2,05	0,0013	10,0	КП	0,17	
12	3,7	34	СФМ	2,1		0,0031	4,9	СП	0,19	
13	1,4	17	АМ	2,2		0,0005	16,5	КП	0,10	$P_2 \cdot e^{-\frac{\beta^2 \tau^2}{2}}, \beta = 2 \cdot 10^3$
14	1,9	18	ЧМ	2,3	2,35	0,0014	10,5	НП	0,12	
15	2,4	19	СФМ	2,4		0,0032	5,5	СФ	0,14	
16	2,9	20	АМ	2,5		0,0006	17,0	НП	0,16	
17	3,4	21	ЧМ	2,6	2,65	0,0015	11,0	КП	0,18	
18	3,9	22	СФМ	2,7		0,0033	5,8	СП	0,20	

№ п/п	ИС; АЦП: $L=8$		ЦДУ	НКС		ПРУ		ЦАП; ПС	Функция корреляции сообщения $\delta_a(\tau), \tau [\mu\text{с}]$			
	$\beta [\beta^2]$	$\omega [\text{с}^{-1}]$		способ перед.	частота [МГц]		$\xi [\text{дБ} \cdot \text{с}]$			k^2	способ приема	δ^* доп
					f_0	f_1						
19	4,0	5	АМ	2,8		0,0007	17,5	КП	0,09	$\beta = \omega \cdot 10^3 [\text{с}^{-1}]$ $\omega_a = \alpha \beta / 3$		
20	4,2	6	ЧМ	2,9	2,95	0,0016	11,5	НП	0,11			
21	4,4	7	ОФМ	3,0		0,0022	6,1	СФ	0,13			
22	4,6	8	АМ	3,1		0,0008	18,0	НП	0,15			
23	4,8	9	ЧМ	3,2	3,25	0,0017	12,0	КП	0,17			
24	5,0	10	ОФМ	3,3		0,0023	6,4	СП	0,19			
25	3,8	13	АМ	3,4		0,0009	18,5	КП	0,10	$\beta = (\omega + \beta) \tau e^{-\beta \tau } \cos \omega_a \tau$ $\beta = \omega \cdot 10^3$ $\omega_a = \alpha \beta / 6$		
26	3,3	14	ЧМ	3,5	3,55	0,0018	12,5	НП	0,12			
27	2,8	15	ОФМ	3,6		0,0024	6,7	СФ	0,14			
28	2,3	16	АМ	3,7		0,0004	19,0	НП	0,16			
29	1,8	17	ЧМ	3,8	3,85	0,0019	13,0	КП	0,18			
30	1,3	18	ОФМ	3,9		0,0025	7,0	СП	0,20			
31	3,6	7	АМ	4,0		0,0005	19,5	КП	0,09	$\beta = \omega \cdot 10^3$ $\omega_a = \beta \cdot \sqrt{2\alpha} / 3$		
32	3,1	8	ЧМ	4,1	4,15	0,0020	13,5	НП	0,11			
33	2,6	9	ОФМ	4,2		0,0026	7,3	СФ	0,13			
34	2,1	10	АМ	4,3		0,0006	20,0	НП	0,15			
35	1,6	11	ЧМ	4,4	4,45	0,0021	14,0	КП	0,17			
36	1,1	12	ОФМ	4,5		0,0027	7,6	СП	0,19			

2. СПИСОК ЛИТЕРАТУРЫ

1. Эмко А.Г., Кловский Д.Д., Назаров М.В., Финк Л.М. Теория передачи сигналов. - М.: Радио и связь, 1986.
2. Назаров М.В., Кушников Б.И., Попов О.В. Теория передачи сигналов. - М.: Связь, 1970.
3. Прудников А.П., Батчиков Д.А., Маричев О.И. Интегралы и ряды. - М.: Наука, 1981.

3. МЕТОДИЧЕСКИЕ РЕКОМЕНДАЦИИ И ОСНОВНЫЕ СООТНОШЕНИЯ ПРИ РЕШЕНИИ ДОМАШНЕГО ЗАДАНИЯ

Цель данного домашнего задания состоит в оказании помощи студентам вузов связанных специальностей 23.06 (Автоматическая электросвязь), 23.06 (Многоканальная электросвязь) и 23.07 (Радиосвязь, радиовещание и телевидение) в приобретении и развитии навыков и умений анализа помехоустойчивости и эффективности систем передачи информации, а также в ознакомлении их с цифровыми методами предоставления и передачи непрерывных сообщений.

Материал домашнего задания соответствует программе дисциплины "Теория электрической связи" - индекс УМО-связь, утверждённой 13.03.89 г.

Ввиду того, что основная литература по дисциплине ТЭС пока отсутствует, в списке литературы приведены учебники по смежной дисциплине, где в той или иной мере освещаются поднимаемые в домашнем задании вопросы. Для облегчения решения домашнего задания в его последующих разделах описываются основные преобразования непрерывного сообщения, передаваемого в цифровой форме по смешанной системе связи, и приводятся основные расчётные соотношения.

3.1. Структурная схема смешанной системы электросвязи, назначение отдельных элементов

В целом ряде случаев практики встает проблема передачи непрерывного сообщения по дискретному каналу связи. Эта проблема решается при использовании смешанной системы связи. Одной из таких систем является система передачи непрерывного сообщения методом импульсно-кодовой модуляции (ИКМ). Структурная схема такой системы приведена на рис.1. Она состоит из источника сообщений (ИС), аналого-цифрового преобразователя (АЦП), двоичного дискретного ка-

наде связи (ЛКС), составной частью которого является непрерывный канал связи (ЛКС), цифро-аналогового преобразователя (ЦАП) и подучетеля сообщений (ПСУ). Каждая из указанных частей системы содержит еще целый ряд элементов. Основным на них подробнее.

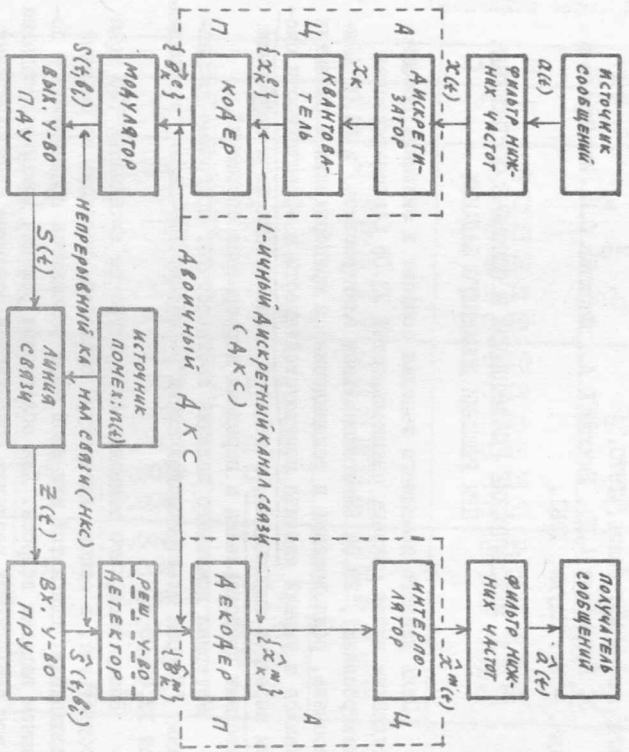


Рис. 1

Источники сообщений — это некоторый объект или система, информация о состоянии или поведении которого необходимо передать на некоторое расстояние. Прием под объектом или системой подразумеваются человек, ЭВМ, автоматическое устройство или что-либо другое. Передача от ИС информации является непрерывной для подучетеля. Поэтому количество выражает через статистическую (вероятностная) характеристика сообщений (сигналов). Сообщение — есть физическая форма представления информации. Часто сообщение представляется в виде изменяющегося во времени тока или напряжения, отобразивших передаваемую информацию. Например,

в телефонии это изменение тока микрофона под действием звукового давления говорящего человека; в телевидении это изменение напряжения на выходе выключки под действием изменения яркости или яркости отобразимого объекта и т.д.

В ПСУ сообщение вначале фильтруется с целью ограничения его спектра некоторой верхней частотой $f_{\text{г}}$. Это необходимо для эффективного представления отклика ФНЧ $x(t)$ в виде последовательности отсчетов $x_k = x(kT)$, $k = 0, 1, 2, \dots$, наблюдаемых на выходе дискретизатора. Отметим, что фильтрация связана с внесением потерь $\epsilon_p(t)$, отображающей ту часть сообщения, которая поддается ФНЧ. Далее отсчеты $\{x_k\}$ квантуются по уровню. Процесс квантования связан с нелинейным преобразованием непрерывных значений отсчетов $\{x_k\}$ в дискретные значения $\{x_k^m\}$, $x_k^m = Q(x_k)$, что также приводит к потере информации, называемую потерей квантования $\epsilon_k(t)$. Квантованные уровни $\{x_k^m\}$ затем кодируются двоичным безызбыточным кодом.

Последовательность кодовых комбинаций $\{z_k^m\}$ образует сигнал ЛКС, который подводится к модулятору — устройству, предназначенному для согласования источника сообщений с используемой линией связи. Модулятор формирует линейный сигнал $S(t, z_k^m)$, который представляет собой электрическое или электромагнитное колебание, способное распространяться по линии связи и однозначно связанное с передаваемым сообщением (в данном случае с сигналом ЛКС). Сигнал $S(t, z_k^m)$ создается в результате модуляции — процесса изменения одного или нескольких параметров переносчика по закону модулирующего ЛКС сигнала. При использовании терминического переносчика $U_m(t) = U_m \cos(2\pi f_m t + \varphi)$ различают сигналы амплитудной, частотной и фазовой модуляции (АМ, ЧМ и ФМ).

Для предотвращения внеполосных излучений в оконечной или при организации многоканальной связи, а также для установления требуемого ОШН на входе приемника линейный сигнал фильтруется и усиливается в выходном каскаде ПСУ.

Сигнал $s(t)$ с выхода ПСУ поступает в линию связи, где на него накладывается помеха $n(t)$. На вход ПЛУ воздействует смесь $z(t) = s(t) + n(t)$ переданного сигнала и помехи. Здесь во входном каскаде ПЛУ $z(t)$ фильтруется и подается на детектор.

При демодуляции из принятого сигнала $z(t, z_k^m)$ выделяется закон изменения информационного параметра, который в нашем случае пропорционален сигналу ЛКС. При этом для опознавания переданных двоичных символов на выход демодулятора подключается ра-

шагнее устройство (СУ). При передаче двоичных сигналов $\delta_i, i=0,1$, по ДКС наличие помех в ДКС приводит к неоднозначным решениям (ошибкам) РУ, что в свою очередь вызывает несоответствие переданных $\{\delta_i^e\}$ и принятых $\{\delta_i^p\}$ кодовых комбинаций.

Наконец, для восстановления переданного непрерывного сообщения $a(t)$, т.е. получения его оценки $\hat{a}(t)$, принятые кодовые комбинации подвергнутся декодированию, ктерологичны и низкочастотной фильтрации. При этом в декодере по двоичным кодовым комбинациям восстанавливается L -ичные уровни $\{x_i^m\}, m=0, L-1$ в L -ичном ДКС и, соответственно, к возникновению шума передачи $\epsilon_T(t)$. Совокупное действие помехности фильтрации, шумов квантования и передачи приводит к неоднозначности между переданными и принятыми сообщениями $\hat{a}(t) \neq a(t)$.

В системах передачи непрерывных сообщений верность (качество) передачи считается удовлетворительной, если суммарная относительная СКП восстановления не превосходит допустимую, т.е. $\delta_{\Sigma} \leq \delta_{доп}$.

Перейдем теперь к количественным оценкам величин и характеристик, указанных в задании.

3.2. Анализ статистических характеристик и параметров передаваемого сообщения

По условию домашнего задания исходное непрерывное сообщение $a(t)$ представляет собой стационарный гауссовский случайный процесс с нулевым математическим ожиданием ($\bar{a} = M\{a\} = 0$), где M - знак математического ожидания по множеству реализаций). Мощность $(P_a = \sigma_a^2 = M\{(a - \bar{a})^2\})$ и функция корреляции $R_a(\tau) = M\{a(t)a(t+\tau)\}$ которого заданы в табл. I.

Гауссовский (нормальный) случайный процесс в любой момент времени характеризуется одномерной ФВР следующего вида:

$$W_a(x) = \frac{1}{\sqrt{2\pi}\sigma_a} \cdot \exp\left\{-\frac{(x-\bar{a})^2}{2\sigma_a^2}\right\}, x \in]-\infty; +\infty[. \quad (1)$$

Во временной и спектральной областях стационарный случайный процесс определяется, соответственно, функцией корреляции $R_a(\tau)$ и спектром плотности мощности или энергетическим спектром $G_a(\omega)$, где $\omega = 2\pi f$. Эти характеристики связаны парой преобразований Винера-Хинчина:

$$G_a(\omega) = \int_{-\infty}^{\infty} R_a(\tau) \cdot e^{-i\omega\tau} \cdot d\tau,$$

$$R_a(\tau) = \int_{-\infty}^{\infty} G_a(\omega) \cdot e^{i\omega\tau} \cdot d\omega. \quad (2)$$

Учитывая, что для стационарного случайного процесса обе эти функции действительны и четны, соотношения (2) можно преобразовать в виде:

$$G_a(f) = 2 \int_0^{\infty} R_a(\tau) \cdot \cos(2\pi f\tau) \cdot d\tau, \quad R_a(\tau) = 2 \int_0^{\infty} G_a(f) \cdot \cos(2\pi f\tau) \cdot df. \quad (3)$$

По известным функциям $G_a(f)$ и $R_a(\tau)$ находят также их параметры, как энергетическая ширина спектра Δf_a и интервал корреляции T_x :

$$\Delta f_a = \frac{1}{T_{max}} \int_0^{\infty} G_a(f) \cdot df, \quad T_x = \frac{1}{G_a(0)} \int_0^{\infty} R_a(\tau) \cdot d\tau, \quad (4)$$

где $G_a(0)$ - максимальное значение энергетического спектра. Напомним, что под шириной спектра понимают ту область частот, в которой сосредоточена основная доля энергии сообщения (сигнала); под интервалом корреляции понимаем промежуток времени между значениями случайного процесса, в пределах которого еще наблюдается взаимосвязь (корреляция), при $\tau > T_x$ этой взаимосвязью (корреляцией) пренебрегают.

Исходное сообщение перед его аналого-цифровым преобразованием пропускается через идеальный ФНЧ (см. рис. 1). Фильтрация - это линейное преобразование. Поэтому отклик $x(t)$ ФНЧ на гауссовское воздействие будет также гауссовским случайным процессом с нулевым математическим ожиданием ($\bar{x} = M\{x(t)\} = 0$) и мощностью, определяемой из соотношения

$$P_x = 2 \int_0^{2\pi f_{cp}} G_a(f) \cdot H^2(f) \cdot df = 2 \int_0^{2\pi f_{cp}} G_a(f) \cdot df. \quad (5)$$

Здесь учтено, что амплитудно-частотная характеристика идеального ФНЧ равна единице в полосе частот $[-f_{cp}, f_{cp}]$ и нулю вне этой полосы. Кроме того, это полоса пропускания Δf_{cp} принята равной энергетической ширине спектра сообщения $\Delta f_{cp} = \Delta f_{\Sigma} = f_2 - f_1$, где f_1 и f_2 - соответственно, нижняя и верхняя частоты, которые для условий домашнего задания равны $f_1 = 0$, $f_2 > 0$. Отсюда частота среза ИФЧ равна $f_{cp} = f_2$. Это говорит о том, что отклик ИФЧ является ограниченным по спектру сообщением. В нем не содержится составляющие исходного сообщения на частотах $f > f_2$. Соответственно эти потери при фильтрации сообщения характеризуют средней квадратической погрешностью (СКП)

$$\sigma_{cp}^2 = 2 \cdot \int_{f_2}^{\infty} G_2(f) H^2(f) df = 2 \cdot \int_{f_2}^{\infty} G_2(f) df = 2 \cdot \int_{f_2}^{\infty} \dots (6)$$

$$\sigma_{cp} = \sigma_{cp}^2 / \Delta$$

3.3. Анализ характеристик и параметров аналого-цифрового преобразования сообщения

Аналого-цифровое преобразование (АЦП) исходного сообщения осуществляется в три этапа (см. рис.1). Вначале сообщение дискретизируется по времени, далее квантуется по уровню и затем квантованные уровни кодируются, в результате чего формируется сигнал импульсно-кодовой модуляции (ИКМ). Все эти преобразования иллюстрируются графически на рис.2.

Теоретической основой дискретизации служит теорема В.А.Котельникова. Суть ее в следующем: любая непрерывная функция $x(t)$, ограниченная по спектру верхней частотой f_2 , может быть точно представлена последовательностью своих отсчетов $x_k = x(t_k = kT)$, взятых в моменты времени $T_k = kT$, кратные интервалу дискретизации

$$T \leq \frac{1}{2f_2} \quad (7)$$

По условию домашнего задания, отклик $x(t)$ идеального ФНЧ удовлетворяет данной теореме. Поэтому его можно продискретизировать, т.е. преобразовать из аналоговой формы $x(t)$ в дискретно-

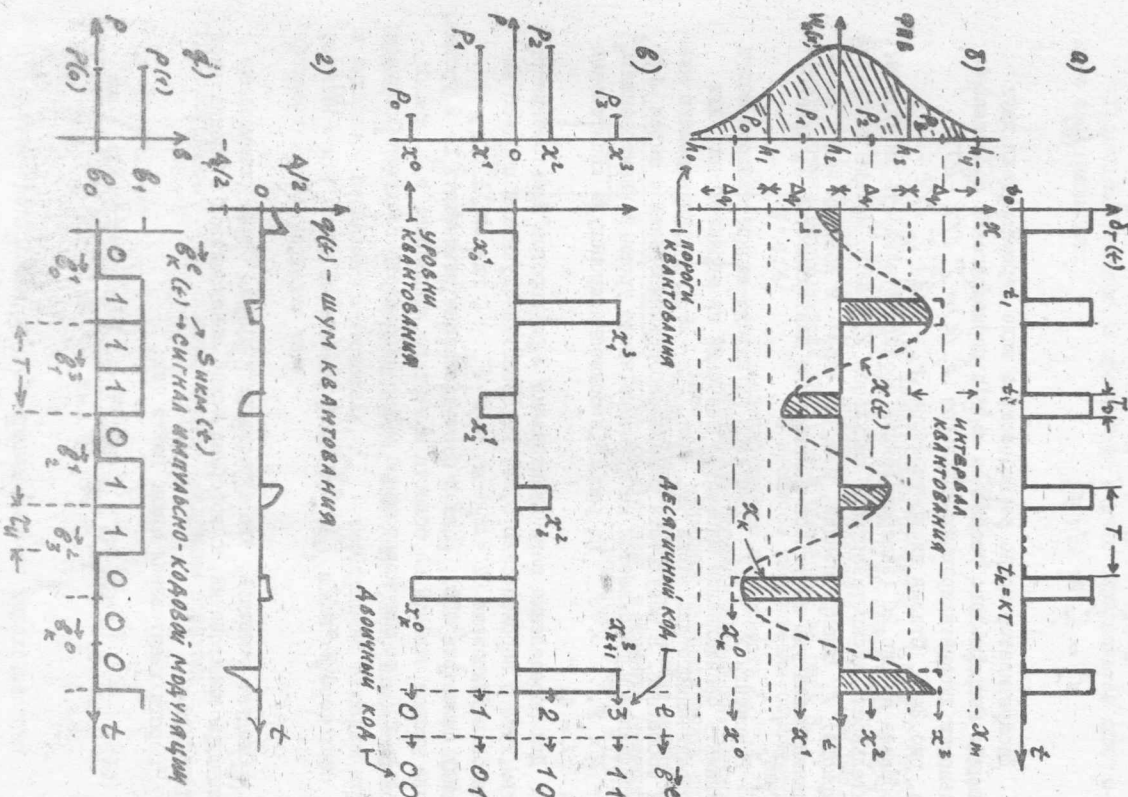


Рис. 2

аналоговую $\{x_k\}$, с частотой дискретизации

$$f_d = \frac{1}{T} \gg 2 \cdot f_s \quad (8)$$

Дискретизатор можно реализовать в виде перемножителя двух функций: непрерывного сообщения $x(t)$ и периодической последовательности дискретизирующих импульсов $\delta_T(t) = \sum \delta(t - kT)$ (см. рис. 2а). Отклик дискретизатора $x_k = x(t) \cdot \sum \delta(t - kT)$ изображен на рис. 2б (зашифрованные последовательности импульсов). Длительность дискретизирующих импульсов T_0 много меньше интервала (периода) T дискретизации, т.е. $T_0 \ll T$ и поэтому часто изменениями амплитуды импульсов в интервале длительности T_0 пренебрегают.

В моменты $t_k = kT$ импульсы на выходе дискретизатора могут принимать бесчисленное множество значений из ограниченного или неограниченного диапазона $W_x = x_{max} - x_{min}$, называемого шкалой сообщения. В результате равномерного квантования с шагом Δq этот диапазон разбивается на конечное число уровней квантования x_k^e , $e = 0, 1, 2, \dots, L-1$. На рис. 2б, в показана процедура квантования для $L = 4$.

Для определения шага квантования Δq порогов квантования $\{x_k^e\}$ учтем, что с вероятностью 0,997 гауссовский случайный процесс находится в диапазоне $W_x = x_{max} - x_{min} = 6 \cdot \sigma_x$, где $\sigma_x = -\sigma_x^e$ (виду симметрии ФВБ). Если в этом диапазоне разместим $L-2$ уровня, а два уровня отвести на области вне этого диапазона, т.е. $x_k < x_{min}$ и $x_k > x_{max}$, то шаг квантования можно рассчитать следующим образом:

$$\Delta q = 6 \cdot \sigma_x / (L-2) = 6 \sqrt{P_x} / (L-2) \quad (9)$$

Следует отметить, что существуют и другие более оптимальные процедуры квантования, с которыми можно ознакомиться в специальной литературе.

Пороги квантования можно найти так:

$$x_k^e = 3 \cdot \sqrt{P_x} \cdot \left(\frac{e-1}{2.5L-1} - 1 \right), \quad e = \overline{1, L-1}, \quad (10)$$

Для крайние пороги соответственно равны $x_k^0 = -\infty$, $x_k^L = +\infty$. Уровни квантования в простейшем случае определяются следующими соотношениями:

$$x_k^e = \frac{x_k^{e-1} + x_k^e}{2} = x_k^0 + e \cdot \Delta q, \quad x_k^0 = -\frac{\Delta q}{2} (L-1), \quad e = \overline{0, L-1}. \quad (11)$$

Таким образом, правило квантования отсчетов $\{x_k\}$ состоит в следующем. Если входной отсчет попадает в интервал $x_k^e < x_k \leq x_k^{e+1}$, то отклик квантователя y_k принимает значение x_k^e (см. рис. 2б). Характеристика квантователя для $L = 4$ приведена на рис. 3.

В процессе квантования образуется специфическая потребность $\epsilon_{qk} = x_k - y_k$, называемая шумом квантования. Вычислим ϵ_{qk}^2 среднюю квадратическую мощность шума квантования, иначе мощность шума квантования, в моменты времени $t_k = kT$ (полагаем $T \gg T_0 \approx 0$):

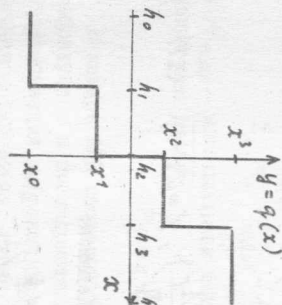


Рис. 3

$$\epsilon_{qk}^2 = M \left\{ (x_k - y_k)^2 \right\} = P_x - 2 \cdot \delta_{xy} + P_y \quad (12)$$

Здесь P_x и P_y - соответственно, мощности (дисперсии) входного и выходного сигналов квантователя, δ_{xy} - коэффициент взаимной корреляции между этими сигналами. Величину δ_{xy} для гауссовского процесса $x(t)$ находят так:

$$\delta_{xy} = k \cdot \sigma_x^2 = k \cdot P_x, \quad (13)$$

где постоянная k определяется следующим образом:

$$k = \int_{-\infty}^{\infty} q(x) \cdot W_x(x) dx = 2 \cdot \Delta q \cdot \sum_{e=0}^{L-1} W_x(x^e). \quad (14)$$

В этом соотношении $q(x)$ - производная от характеристики квантования $y = q(x)$ (см. рис. 3), $W_x(x)$ - ФВБ гауссовской величины x_k , определяемая соотношением (1) с заменой σ_x^2

на $P_e = \sigma_e^2$. Подставляя теперь (14) в (13), а затем в (12), окончательно для СКД квантования имеем:

$$\bar{\sigma}_q^2 = P_e \cdot (1 - 2^k) + P_y \quad (15)$$

Мощность P_y квантованного процесса $y_k = x_k^e$ равна

$$P_y = M(y - \bar{y})^2 = \sum_{k=0}^{L-1} (x_k^e)^2 P_e = 2 \sum_{k=0}^{2^{k-1}} (x_k^e)^2 P_e \quad (16)$$

В данном соотношении распределение вероятностей $P_e, e = \overline{0, L-1}$, дискретной случайной величины $y_k = x_k^e, e = \overline{0, L-1}$, с учетом (10), рассчитывается так:

$$P_e = \int_{k_e}^{k_e+1} W_x(\lambda) d\lambda = \varphi\left(\frac{k_e+1}{\sigma_x}\right) - \varphi\left(\frac{k_e}{\sigma_x}\right), e = \overline{0, L-1}, \quad (17)$$

где $\varphi(\lambda)$ - табулированная функция Лапласа:

$$\varphi(\lambda) = \frac{1}{\sqrt{2\pi}} \int_{-\infty}^{\lambda} e^{-t^2/2} dt \quad (17a)$$

Интегральное распределение вероятностей находит так:

$$P_e = \sum_{k=0}^L P_e; \quad \bar{e} = 0, e < 0; \quad \bar{e} = 1, e \geq L-1, \quad e = \overline{0, L-1}. \quad (18)$$

Полагая, что отсчеты $\{x_k\}$ на выходе дискретизатора некоррелированы между собой, а для гауссовского процесса, следовательно, и независимы, определим информационные характеристики отклика $\{y_k\}$ квантователя, являющегося входным сигналом L -ичного ДКС. Квантованная последовательность $y_k = x_k^e, e = \overline{0, L-1}$ с учетом независимости ее значений определяется одномерным распределением вероятностей вида (17).

Энтропия H_y характеризует количественную меру неопределенности о сообщении $\{y_k\}$ до его приема, т.е. то количество информации, которое должно быть в среднем получено для распознавания любого уровня x_k^e из L -мерного их множества. Энтропия равна

$$H_y = - \sum_{k=0}^{L-1} P_e \log_2 P_e, \quad [\text{дв. ед. / отсчет}]. \quad (19)$$

Производительность или скорость ввода информации в ДКС определяется соотношением

$$H_y' = \frac{1}{T} \cdot H_y \quad [\text{дв. ед. / с}]. \quad (20)$$

Энтропия измеряется в двоичных единицах (битах), а производительность - в двоичных единицах в секунду (бит/с).

Избыточность последовательности $\{y_k = x_k^e\}$

$$z_y = (H_{\max} - H_y) / H_{\max}, \quad (21)$$

где H_{\max} - максимальная энтропия. Для источника дискретных сообщений она равна

$$H_{\max} = \log_2 L. \quad (22)$$

В коде ДКС последовательность $x_k^e, e = \overline{0, L-1}, k = \overline{0, 1, 2, \dots}$ преобразуется в последовательность кодовых символов $\{e_k\}$.

При организации цифровой связи широкое распространение получило двоичное кодирование, когда кодовые символы принимают только два значения $e_k = 0$ и $e_k = 1$. Соответственно процедура двоичного безызбыточного кодирования отсчетов $\{x_k^e\}$ состоит в следующем. Физические уровни $\{x_k^e\}, e = \overline{0, L-1}$ вначале переупорядовываются, т.е. заменяются их номерами $x_k^e \rightarrow e$, иначе, представляются в виде десятичных чисел от 0 до $L-1$. Например, для $L = 4, e = 0, 1, 2, 3$ (см. рис. 2в). Затем эти десятичные числа представляются в двоичной системе счисления с основанием 2. Это представление имеет вид

$$e = \sum_{i=0}^{n-1} b_{e,i} \cdot 2^i = b_{e,n-1} \cdot 2^{n-1} + b_{e,n-2} \cdot 2^{n-2} + \dots + b_{e,1} \cdot 2^1 + b_{e,0} \cdot 2^0, \quad (23)$$

где $b_{e,i}$ - двоичный кодовый символ ($b_{e,i} = 0$ или 1) e -ого десятичного числа, расположенный в i -ой позиции кодовой комбинации $b_{e,n-1} b_{e,n-2} \dots b_{e,1} b_{e,0}$ ($k = 0, 1, 2, \dots, L-1$).

Таким образом, в моменты времени $t_k = kT$ уровни x_k^e переводятся в числа e , а последние в кодовые комбинации $b_{e,n-1} b_{e,n-2} \dots b_{e,1} b_{e,0}$.

В результате образуется сигнал импульсно-кодовой модуляции (ИКМ).
 Пример такого преобразования приведен на рис. 2в, д для объема
 числа уровней квантования, равного $L = 4$.

Кодовым расстоянием Хэмминга $d_{\text{Хэм}}$ между двумя двоичными
 кодовыми комбинациями $b_{\text{к}}^i$ и $b_{\text{к}}^m$ называют суммарный эффект
 от позиционного суммирования по модулю два кодовых символов
 сравняваемых кодовых комбинаций

$$d_{\text{Хэм}} = \sum_{i=0}^{n-1} b_{\text{к}}^i \oplus b_{\text{к}}^m, \quad b_{\text{к}}^i, m = 0, L-1. \quad (24)$$

Здесь \sum - арифметическая сумма, \oplus_2 - суммирование по
 модулю два

$$b_{\text{к}}^i \oplus b_{\text{к}}^m = \begin{cases} b_{\text{к}}^i + b_{\text{к}}^m & \text{при } b_{\text{к}}^i + b_{\text{к}}^m < 2, \\ b_{\text{к}}^i + b_{\text{к}}^m - 2 & \text{при } b_{\text{к}}^i + b_{\text{к}}^m \geq 2. \end{cases} \quad (25)$$

Иначе $0 \oplus 0 = 0, 0 \oplus 1 = 1, 1 \oplus 0 = 1, 1 \oplus 1 = 0$.

Таблица кодовых расстояний строится на основе (24). Пусть ℓ - номер строки, в m - номер столбца этой таблицы. Так как она симметрична относительно главной диагонали, где $\ell = m$, то целесообразно выписать лишь ее элементы выше главной диагонали.

Для вычисления вероятностей $p(\ell)$ и $p(1)$ появления нулей и единиц в сигнале ИКМ (см. рис. 2д) обратимся к рис. 2в. Слева показаны вероятности $p_{\ell}, \ell = 0, L-1$ появления кодовых комбинаций, а справа сами кодовые комбинации $\{b_{\text{к}}^{\ell}\}$. Распределение вероятностей относительно нулевого уровня симметрично. Число единиц и нулей в кодовых комбинациях $b_{\text{к}}^{\ell}$, соответствующих этим вероятностям, также симметрично, т.е.

$$\overline{n(0)} = \overline{n(1)}, \quad \overline{n(0)} = \sum_{\ell=0}^{L-1} n_{\ell}^0 \cdot p_{\ell}, \quad \overline{n(1)} = \sum_{\ell=0}^{L-1} n_{\ell}^1 \cdot p_{\ell}. \quad (26)$$

Так как среднее число нулей $\overline{n(0)}$ и среднее число единиц $\overline{n(1)}$ в сигнале ИКМ одинаково (это справедливо для гауссовского сообщения и данного способа кодирования), то и вероятности их появления одинаковы $p(0) = p(1) = 0,5$.

Ширина спектра сигнала ИКМ находится из следующего соотношения. На интервале дискретизации T при одиночном фазовом

кодирования по правилу (23) должно уместиться L элементарных кодовых символов. Следовательно, их длительность равна $T_{\text{к}} = T/L = T / \log_2 L$ (см. рис. 2д). Но ширина спектра элементарного прямоугольного импульса обратно пропорциональна $T_{\text{к}}$. Таким образом, ширина спектра сигнала ИКМ

$$\Delta f_{\text{ИКМ}} = \frac{K_1}{T_{\text{к}}} = \frac{K_1 \cdot \log_2 L}{T} = 2 \Delta f_{\text{с}} \cdot K_1 \cdot \log_2 L, \quad (27)$$

где K_1 - постоянная, равная 1,5-2, $\Delta f_{\text{с}}$ - ширина спектра исходного сообщения $a(t)$ ($T = 1/2f_{\text{с}} = 1/2\Delta f_{\text{с}}$).

3.4. Характеристики и параметры сигналов дискретной модуляции

Различные кодовые символы сигнала ИКМ могут быть переданы с помощью различных видов дискретной модуляции (манипуляции) параметров переносчика. Так на рис. 4 показаны: исходное модулируемое сообщение $b_{\text{к}}^{\ell}(t)$ или сигнал ИКМ (рис. 4а), модулирующее сообщение $b_{\text{с}}^{\ell}(t)$ в виде двуполупериодных импульсов, связанное с исходным сообщением простым соотношением $b_{\text{с}}^{\ell}(t) = 2 \cdot b_{\text{к}}^{\ell}(t) - 1$ (рис. 4б).

На рис. 4в изображен гармонический переносчик вида $u_{\text{н}}(t) = U_{\text{н}} \cos(2\pi f_{\text{н}} t - \varphi)$, где $U_{\text{н}}$ - амплитуда, $f_{\text{н}}$ - частота, φ - начальная фаза (в дальнейшем примем $\varphi = 0$). Сигналы дискретной амплитудной (ДМ), дискретной частотной (ДЧМ) и дискретной фазовой (ДФМ) модуляции приведены на рис. 4, г, д, е. Модулирующее сообщение в виде импульсов относительно кода $b_{\text{с}}^{\ell}(t)$, необходимое для формирования сигнала дискретной относительно фазовой модуляции (ДФМ), приведено на рис. 4ж, сам сигнал ДФМ изображен на рис. 4з. При этом импульсы относительно кода формируются по правилу $b_{\text{с}}^{\ell}(t) = b_{\text{к}}^{\ell}(t) \cdot b_{\text{с}}^{\ell}(t - t_{\text{к}})$, где $b_{\text{с}}^{\ell}(t - t_{\text{к}})$ - задержанное на длительность периода $T_{\text{к}}$ сообщение $b_{\text{с}}^{\ell}(t)$; $b_{\text{с}}^{\ell}(t) = 1$; либо -1 .

Рассмотрим аналитическое представление сигналов дискретной модуляции и их спектров. С этой целью в качестве модели модулирующего импульсного сообщения $b_{\text{с}}^{\ell}(t)$ примем сигнал вида

$$b_{\text{с}}^{\ell}(t) = \begin{cases} b_{\text{с}} = -1, & -t_{\text{к}} \leq t < 0, \\ b_{\text{с}} = +1, & 0 \leq t < t_{\text{к}}. \end{cases} \quad (28)$$

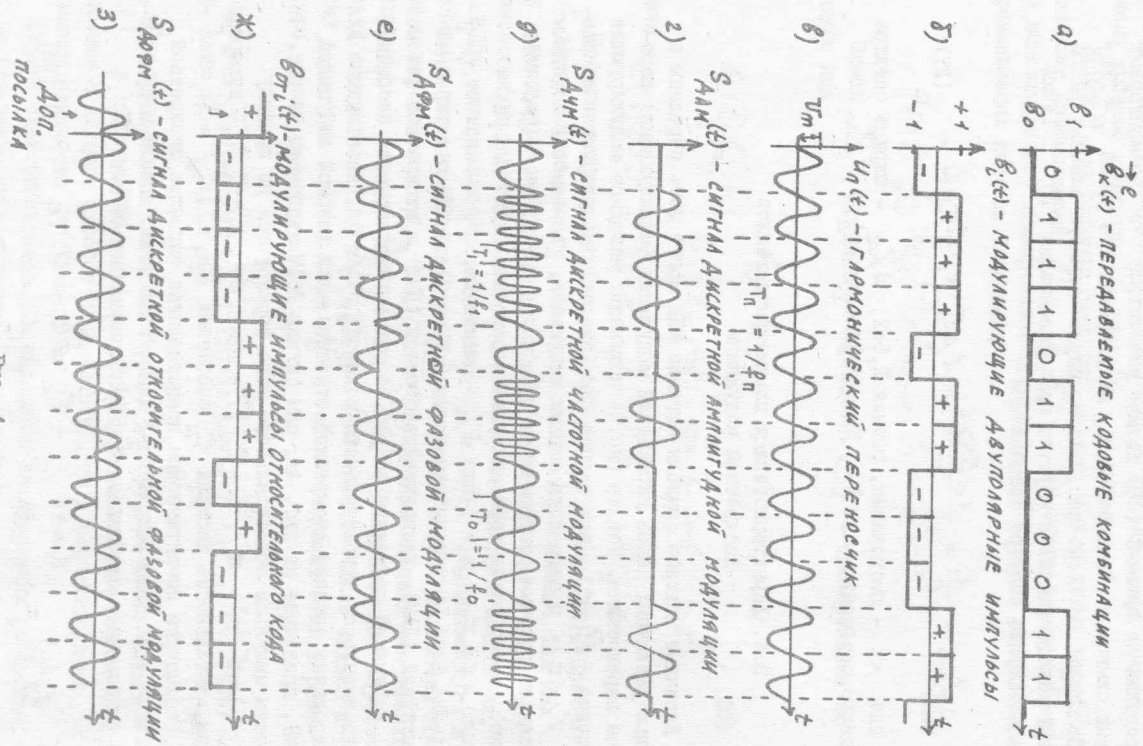


Рис. 4

Предполагая, что это сообщение периодически с периодом $T_n = 2 \cdot T_{\text{дл}}$, представляем его тригонометрическим рядом Фурье (без учета фазовых сдвигов):

$$b_k(t) = \frac{2}{T_n} \sum_{k=1}^{\infty} \frac{1 - \cos k\pi t}{k} \cdot \sin \frac{k\pi}{T_n} t = \frac{4}{T_n} \sum_{k=1}^{\infty} \frac{1}{k} \cdot \sin \frac{k\pi}{T_n} t, k=1,3,5 \dots \quad (29)$$

Как следует из (29), это сообщение имеет только нечетные гармонические (спектральные) составляющие на частотах $f_k = k \cdot f_n = k/T_n = k/2T_{\text{дл}}$, $k=1,3,5, \dots$, $T_n = 1/2 \cdot 2T_{\text{дл}} = 2T_{\text{дл}}$.
Сигнал ДАМ представляется в виде

$$S_{\text{ДАМ}}(t) = 0.5 U_m [1 + b_k(t)] \sin \omega_n t = \begin{cases} S_0(t) = 0, \\ S_1(t) = U_m \sin \omega_n t \end{cases} \quad (30)$$

Подставляя (29) в (30), получаем следующее спектральное разложение сигнала ДАМ:

$$S_{\text{ДАМ}}(t) = 0.5 U_m \cdot \sin \omega_n t + \sum_{k=1}^{\infty} \frac{U_m}{2 \cdot k} [\sin 2k(\omega_n t - k f_n t) - \sin 2k(\omega_n t + k f_n t)] \quad (31)$$

Ширина спектра сигнала ДАМ в два раза больше ширины спектра модулирующего сообщения - сигнала ИКМ:

$$\Delta f_{\text{сигн ДАМ}} = 2 \cdot \Delta f_{\text{ИКМ}} \quad (32)$$

Сигнал ДЧМ представляется в виде

$$S_{\text{ДЧМ}}(t) = U_m \cdot \sin(\omega_n t + \omega_g \int b_k(t) dt) = \begin{cases} S_0(t) = U_m \sin \omega_n t, \\ S_1(t) = U_m \sin \omega_g t, \end{cases} \quad (33)$$

где ω_n - частота переносчика; $\omega_g = (\omega_2 + \omega_1)/2$; ω_2 - левая частота (Максимальное отклонение частоты); $\omega_1 = (\omega_2 - \omega_0)/2$, $\omega_2 = \omega_n - \omega_g$, $\omega_1 = \omega_n + \omega_g$.

После ряда преобразований разложение сигнала ДЧМ по гармоническим составляющим принимает следующий вид:

$$S_{\text{ДЧМ}}(t) = \frac{2 U_m \cdot \pi U_m}{2} \sum_{k=-\infty}^{\infty} \frac{\sin [k(\pi U_m + k)/2]}{\pi U_m - k} \cdot \cos 2k(\omega_n + k f_n) t. \quad (34)$$

Здесь $m_{\text{чм}}$ - индекс частотной модуляции, $m_{\text{чм}} = \omega_d / \omega_{\text{чм}} = \Delta f_{\text{чм}} / f_{\text{чм}} = (f - f_0) / 2 \Delta f_{\text{чм}}$; $\omega_{\text{чм}}$ - круговая частота минимума, $\omega_{\text{чм}} = 2\pi f_{\text{чм}}$. С достаточной для практических целей точностью ширина спектра сигнала ДЧМ может быть определена так:

$$\Delta f_{\text{с, ДЧМ}} = 2(m_{\text{чм}} + 1) \Delta f_{\text{чм}} = f_0 + f_0 + 2 \Delta f_{\text{чм}} \quad (35)$$

Сигнал ДЧМ представляется в виде

$$s_{\text{ДЧМ}}(t) = U_m \cdot \text{sinc}(\omega_d t + m_{\text{чм}} \cdot e_c(t)) = \begin{cases} s_{\Delta}(t) = U_m \cdot \text{sinc}(\omega_d t - f_0 t), \\ s_{\Delta}(t) = U_m \cdot \text{sinc}(\omega_d t + f_0 t), \end{cases} \quad (36)$$

где $m_{\text{чм}} = \omega_d / 2$ - индекс фазовой модуляции (максимальное отклонение фазы сигнала ДЧМ от фазы несущей).

Разложение сигнала ДЧМ по гармоническим составляющим имеет следующий вид:

$$s_{\text{ДЧМ}}(t) = U_m \cdot \cos m_{\text{чм}} \cdot \text{sinc} 2\pi f_0 t - \sum_{k=1}^{\infty} \frac{2^k U_m \cdot \text{sinc} m_{\text{чм}}}{k!} \cdot [\text{sinc} 2\pi (f_0 - k f_0) t + \text{sinc} 2\pi (f_0 + k f_0) t] \quad (37)$$

Ширина спектра сигнала ДЧМ может быть определена следующим образом:

$$\Delta f_{\text{с, ДЧМ}} = 2(m_{\text{чм}} + 1) \Delta f_{\text{чм}} = (2 + 2) \Delta f_{\text{чм}} \quad (38)$$

По выражениям (31), (34) и (37) строят амплитудные спектры сигналов дискретной модуляции на близости - амплитуды гармонической составляющей - частота (МГц). Спектр сигнала ДЧМ аналогичен спектру сигнала ДЧМ.

3.5. Характеристики и параметры узкополосного внедренного тауссовского канала связи

Модель узкополосного шумового тауссовского НКС представляет в виде: идеальной идеальной ДЧ, линия связи без потерь с аддитивной тауссовской равномерно распределенной по спектру помехой, выходной

идеальной ДЧ. Центральные частоты ДЧ совпадают с частотой несущего колебания (переносчика). Полосы пропускания ДЧ совпадают с шириной спектра сигнала дискретной модуляции. В полосе пропускания коэффициент передачи ДЧ примем равным единице.

Помеху с равномерным спектром назовем белым шумом. Спектр плотности мощности этого шума равен $S_{\omega}(\omega) = G_0$, $\omega \geq 0$.

Мощность тауссовского белого шума $P_{\omega} = G_0 \Delta f_s$ в полосе пропускания ДЧ геометрически определяется как площадь прямоугольника с высотой G_0 и основанием Δf_s :

$$P_{\omega} = G_0 \cdot \Delta f_s \quad (39)$$

где Δf_s определяют из соотношений (32), (35) или (38), в зависимости от вида модуляции.

Учитывая (39) и то, что требуемое отношение сигнал-шум (ОШ) $H^2 = P / P_{\omega}$ на входе детектора приемника известно, находим мощность сигнала дискретной модуляции, обеспечивающую это ОШ:

$$P_s = H^2 \cdot P_{\omega} = H^2 \cdot G_0 \cdot \Delta f_s \quad (40)$$

На длительности помехи сигнал дискретной модуляции имеет вид гармонического колебания (см. рис. 4). Мощность тауссовского колебания в этом случае равна $P_s = U_m^2 / 2$ (это мощность, развиваемая на сопротивлении в 1 Ом). Учитывая специфику формирования сигналов ДМ, ДЧМ и ДЧМ, получаем следующие соотношения для их мощностей и амплитуд, в среднем приходящихся на один двучастный символ:

$$\begin{aligned} P_{\text{ДМ}} &= P_s / 2, & U_m &= \sqrt{2 \cdot P_{\text{ДМ}}} \\ P_{\text{ДЧМ}} &= P_s, & U_m &= \sqrt{2 \cdot P_{\text{ДЧМ}}} \\ P_{\text{ДФМ}} &= P_{\text{ДФМ}} = P_s, & U_m &= \sqrt{2 \cdot P_{\text{ДФМ}}} \end{aligned} \quad (41)$$

Процессная способность НКС характеризует максимально возможную скорость передачи информации по данному каналу. Максимум ищется по всем возможным распределениям вероятностей сигналов, подпадающих на вход НКС. В теории электро связи доказывалось, что максимальная скорость информации по НКС будет обеспечена при таком методе кодирования и модуляции, которые приводят к формированию сигнала в ЦЧ

с гауссовским распределением мгновенных значений. При таком сигнале пропускная способность гауссовского НКС имеет вид

$$C = \Delta f_s \cdot \log_2 \left(1 + \frac{N_0}{S} \right) = \Delta f_s \cdot \log_2 (1 + K^2). \quad (42)$$

В случае, когда сигнал на входе НКС отсутствует, в нем действует лишь широкополосный гауссовский шум. При действии этого шума на полосовой фильтр отклик последнего представляет собой шум в полосе частот Δf_s . Если отношение $\Delta f_s / f_m \ll 1$, то такой фильтр и соответственно шум на его выходе называют узкополосными. Часто узкополосный гауссовский шум представляют в виде высокочастотного гармонического колебания, модулированного по амплитуде и фазе. Можно использовать две формы такого представления:

$$N(t) = N_m(t) \cdot \cos[\omega_c t + \varphi(t)],$$

$$N(t) = N_c(t) \cdot \cos \omega_c t + N_s(t) \cdot \sin \omega_c t,$$

где $N_m(t), N_c(t), N_s(t)$ и $\varphi(t)$ - низкочастотные случайные процессы, связанные соотношениями

$$N_m(t) = \sqrt{N_c^2(t) + N_s^2(t)}, \quad \varphi(t) = \arctg \frac{N_s(t)}{N_c(t)},$$

$N_c(t)$ и $N_s(t)$ - амплитуды синфазной и квадратурной составляющих помехи $N(t)$.

Функции плотности вероятности (ФПВ) мгновенных значений $N_c(t), N_s(t), N_m(t)$ имеют вид гауссовского распределения (см. соотношение (1)) с числовыми характеристиками: $N_c = N_s = N_m = 0, \sigma_c^2 = \sigma_s^2 = \sigma_m^2 = \sigma$. Отсюда $N_m(t)$ (случайно изменяющаяся амплитуда) гауссовской помехи распределена по закону Релея, т.е.

$$W_{N_m}(r) = \frac{r}{\sigma^2} \cdot \exp \left\{ -\frac{r^2}{2 \cdot \sigma^2} \right\}, \quad r \geq 0. \quad (43)$$

В случае, когда в НКС действует аддитивная смесь гармонического сигнала и узкополосной гауссовской помехи, выходной сигнал на детектор принятого сигнала можно представлять в виде

$$z(t) = U_m \cdot \cos(\omega_c t + \varphi_0) + N(t) =$$

$$= U_m^*(t) \cdot \cos[\omega_c t + \varphi^*(t)] =$$

$$= U_c(t) \cdot \cos \omega_c t + U_s(t) \cdot \sin \omega_c t,$$

где $U_c = U_m \cdot \cos \varphi_0 + N_c, U_s = U_m \cdot \sin \varphi_0 + N_s$. Функции плотности вероятности мгновенных значений $z(t)$ в случае, если φ_0 распределена равномерно ($W(\varphi) = 1/2\pi, -\pi < \varphi < \pi$), имеет вид

$$W_z(r) = \frac{1}{2\pi \sqrt{2} \sigma_z^2} \int_0^r \exp \left\{ -\frac{(r - U_m \cdot \cos \varphi)^2}{2 \cdot \sigma_z^2} \right\} d\varphi. \quad (44)$$

ФПВ огибающей $U_m^*(t)$ принимаемого сигнала подчиняется ооооценному распределению Релея (распределению Райса):

$$W_{U_m^*}(r) = \frac{r}{\sigma_{U_m^*}^2} \cdot \exp \left\{ -\frac{r^2}{2 \sigma_{U_m^*}^2} + K^2 \right\}, \quad r \geq 0. \quad (45)$$

$$I_0(x) \approx \frac{e}{\sqrt{2\pi x^2}}$$

3.6. Оценка помехоустойчивости и эффективности приема сигналов дискретной модуляции

Прим сигналов дискретной модуляции может осуществляться различными способами. В практике электросвязи широко распространены получили два вида приема - когерентный и некогерентный. Когерентный прием (КП) предполагает использование в ЦРУ когерентного (синхронного) детектора, представляющего собой линейную систему с переменными параметрами.

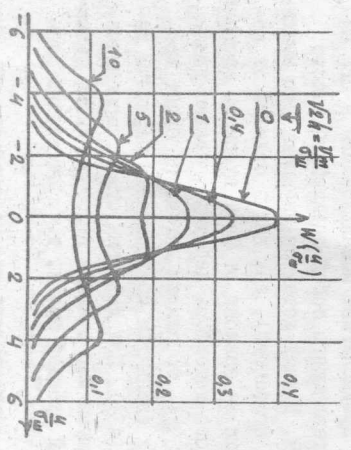


Рис. 5

График этой ФПВ для нескольких значений параметра $K = \sqrt{S/N_0} = U_m / \sqrt{2} \cdot \sigma$ приведен на рис. 5.

Схема детектора состоит из перемножителя и фильтра нижних частот (ФНЧ). Перемножаются принятый сигнал $z(t)$ и опорное (синхронизирующее) колебание $U_r(t) = U_r \cdot \cos(\omega_r t + \varphi_r)$.

Рассмотрим статистические характеристики отклика когерентного детектора.

Пусть на вход детектора поступает узкополосное колебание в виде суммы гармонического сигнала и узкополосного гауссовского шума, т.е. $z(t) = U_m \cdot \cos(\omega_m t + \varphi_m) + N(t)$. Тогда при равенстве частот $\omega_r = \omega_m$ (угловые синхронности) и единичном коэффициенте передачи детектора отклик последнего равен $U(t) = U_m \cos(\varphi_m + \varphi_r) + N(t)$.

Здесь $U_m \cos(\varphi_m + \varphi_r)$ — полезная сигнальная составляющая отклика, $U_m \cos(\varphi_m + \varphi_r) + N(t)$ — это шумовая составляющая, $U_m \cos(\varphi_m + \varphi_r) + N(t)$ — полезная составляющая детерминирована, а шумовая составляющая имеет гауссовское распределение вероятностей. Следовательно, ФПЗ отклика когерентного детектора при действии на входе сигнала и шума равна

$$W_0(U) = \frac{1}{\sqrt{2\pi} \sigma_U} \exp \left\{ -\frac{[U - U_m \cos(\varphi_m + \varphi_r)]^2}{2 \cdot \sigma_U^2} \right\}. \quad (46)$$

При отсутствии на входе детектора сигнала отклик будет определяться только шумовой составляющей с ФПЗ (46), но при $U_m = 0$.

Некогерентный прием (НП) предполагает использование в ПДУ некогерентного детектора, представляющего собой нелинейный (часто диодный) преобразователь и ФНЧ. Данный детектор называет еще амплитудным детектором (детектором отдачи), так как в отличие от когерентного детектора его отклик не зависит от фазы входного сигнала.

Если на вход некогерентного детектора действует только узкополосная гауссовская помеха $N(t)$, то отклик детектора будет пропорционален ее отдаче и при единичном коэффициенте передачи детектора имеет ФПЗ Рэяли (см. (43)). При действии суммы гармонического сигнала и узкополосного шума ФПЗ отклика некогерентного детектора совпадает с ФПЗ отдачи входной смеси, т.е. задательно распределения Рэяли (см. (45)).

Применение ДМ можно осуществлять как на когерентный, так и на некогерентный детекторы. Если при приеме сигнала ДМ выданы на выход разных частот производящих и выходящих фильтров, то в каждом из каналов можно также использовать либо когерентный, либо некогерентный детектор. Для детектирования сигнала ДМ

используют фазовый детектор, выдающийся синхронным детектором.

Следует отметить, что прием сигналов ДМ на практике связан с рядом сложностей: невозможность обеспечения необходимой стабильности частоты ω_r и фазы φ_r опорного колебания; вредным является обратный разброс — случайным изменением текущей фазы на противоположную, что приводит к неправильному опознаванию кодовых символов. Поэтому более широкое применение в практике наша отныне специальная фазовая манипуляция. Детектирование сигнала ДМ производится двумя методами: методом сравнения фаз и методом сравнения полярностей. При методе сравнения фаз в фазовом детекторе сравниваются фазы текущего и предыдущего, задержанного на время T_n , кодовых символов. В методе сравнения полярностей производится сравнение продолжительности текущего и задержанной на T_n посылки, принимаемых для значения ± 1 .

Схемы приемников различных сигналов дискретной модуляции приведены на рис. 6. Здесь наружу с описанными выше детекторами имеются элементы последовательной обработки. К ним относятся дискретизатор и решающее устройство (РУ). К дискретизатору наружу с откликом детектора $U(t)$ подводится дискретизирующее импульсы с периодом T_n , необходимые для вычисления отсчета в середине посылки длительностью T_n . В РУ отсчеты U_k сравниваются с пороговым напряжением U_0 и принимается решение — передана 1, если $U_k \geq U_0$, или передана 0, если $U_k < U_0$. Кроме того на схемах введена обозначения: РУ — вычисляющее устройство, ЛЗ — линия задержки, ФОН — формирователь опорного напряжения.

Под действием помех в канале связи РУ может ошибаться (выносить неправильные решения). Ошибочные решения бывают двух видов: переход 0 в 1 (передается 0, но РУ выдало решение 1), характеризующийся условной (апостериорной) вероятностью ошибки $p(1/0)$; переход 1 в 0 (передается 1, но РУ выдало решение 0), характеризующийся условной вероятностью ошибки $p(0/1)$.

За количественную меру помехоустойчивости в системах связи принимают среднюю на бит вероятность ошибки

$$P_{\text{ош}} = p(0) \cdot p(1/0) + p(1) \cdot p(0/1). \quad (47)$$

При равенстве априорных вероятностей $p(0) = p(1) = 0.5$, а также условных вероятностей $p(1/0) = p(0/1) = p_2$ (условие симметричности двоячного ДКС), средняя на бит вероятность ошибки совпадает с одной из условных вероятностей $P_{\text{ош}} = p_2$.

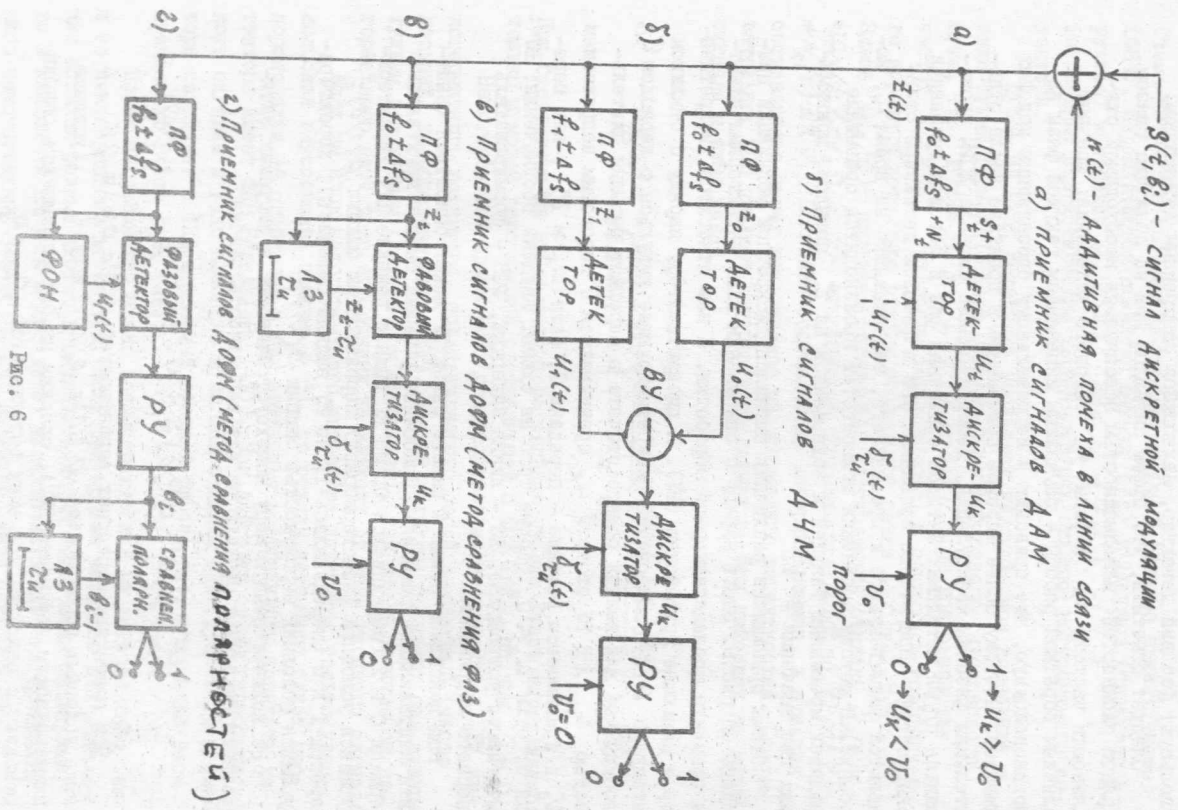


Рис. 6

Условные вероятности ошибок находятся интегрированием условий ФВ откликов детекторов:

$$P(1/0) = \int_{U_c^0}^{\infty} W_0(L) dL, \quad P(0/1) = \int_{-\infty}^{U_c^0} W_1(L) dL, \quad (48)$$

где $W_0(L)$ и $W_1(L)$ - соответственно ФВ откликов детекторов при условии формирования на передаче 0 или 1.

Оценим помехоустойчивость передачи двоичных символов при различных сигналах дискретной модуляции и различных методах их приема.

При передаче сигналов ДАМ (см. рис. 4г) символ 0 соответствует отсутствию сигнала, а символ 1 - передаче сигнала с постоянной амплитудой. При этом на выходе детектора ПРУ при передаче символа 0 напряжение будет иметь ФВ $W_0(L)$ шума, а при передаче 1 - ФВ сигнала и шума $W(L)$ (см. рис. 6а).

Когерентный прием (при $U_1 - U_0 = 0$) сигнала ДАМ характерен гауссовскими ФВ откликов детектора:

$$W_0(L) = \frac{1}{\sqrt{2\pi} \sigma_{ш}^2} e^{-\frac{L^2}{2\sigma_{ш}^2}}, \quad W_1(L) = \frac{1}{\sqrt{2\pi} \sigma_{ш}^2} e^{-\frac{(L - U_{ш})^2}{2\sigma_{ш}^2}} \quad (49)$$

Для симметричного ДКС $P(1/0) = P(0/1) = P_e$. Это достигается при пороге $U_c = U_{ш}/2$. Подставляя (49) и U_c в (48), получаем

$$P_{ш} = P_e = 1 - \frac{1}{\sqrt{2\pi}} \int_{-\infty}^{U_{ш}/2} e^{-\frac{L^2}{2\sigma_{ш}^2}} dL = 1 - \Phi\left(\frac{U_{ш}}{\sqrt{2}\sigma_{ш}}\right), \quad (50)$$

где $\Phi(x)$ - табулированная функция Лапласа (см. (17а)), $U_{ш} = \frac{U_c}{\sqrt{2}}$ - осл. Некоторый прием сигнала ДАМ характерен релейским и релейс-ским распределениями откликов детектора:

$$W_0(L) = \frac{L}{\sigma_{ш}^2} e^{-\frac{L^2}{2\sigma_{ш}^2}}, \quad W_1(L) = \frac{L}{\sigma_{ш}^2} e^{-\frac{L^2 + U_{ш}^2}{2\sigma_{ш}^2}} \cdot J_0\left(\frac{L \cdot U_{ш}}{\sigma_{ш}^2}\right). \quad (51)$$

Подставляя (51) в (48), получаем

$$P(f|0) = e^{-\frac{U_0^2}{2\sigma_w^2}}, \quad P(f|1) = \int_0^{U_0} \frac{U}{\sigma_w^2} \cdot e^{-\frac{U-U_0}{\sigma_w^2}} \cdot \alpha U \cdot dU \quad (52)$$

Для симметричного ДКС эти вероятности равны P_2 . Из (52) определим порог U_0 через $P_2 = P(f|0)$:

$$U_0 = \sigma_w \sqrt{2 \ln P_2} \quad (53)$$

Подставляя U_0 в $P(f|1) = P_2$, окончательно имеем

$$P_{sh} = P_2 = \int_0^{\sqrt{2 \ln P_2} \sigma_w} \frac{U}{\sigma_w^2} \cdot e^{-\left(\frac{U}{\sigma_w} + \sqrt{2 \ln P_2}\right)} \cdot \alpha \left(\frac{U}{\sigma_w} + \sqrt{2 \ln P_2}\right) dU \quad (54)$$

Зависимость P_{sh} от k^2 , полученная на основе решения (54), представлена в табл. 2.

Таблица 2

P_{sh}	$5 \cdot 10^{-1}$	$2 \cdot 10^{-1}$	10^{-1}	$5 \cdot 10^{-2}$	10^{-2}	$5 \cdot 10^{-3}$	10^{-3}	$5 \cdot 10^{-4}$	10^{-4}
k^2	0	2,82	5,37	7,77	13,8	16,4	22,9	25,7	33,2

При передаче сигналов ДЧМ (см. рис. 4д) символ 0 соответствует передаче сигнала на частоте f_0 , а символ 1 - передаче сигнала на частоте f_1 . Из рис. 6б следует, что при передаче 0 через ДЧМ, настроенный на частоту f_0 , будет проходить сигнал с несущей частотой f_0 и шум в полосу пропускания этого ДЧМ. Через ДЧМ, настроенный на частоту f_1 , при передаче 0 будет проходить только шум в полосу пропускания этого ДЧМ. Симметричная картина наблюдается при передаче символа 1.

Обобщенные решения здесь будут тогда, когда отклик детектора в канале, по которому сигнал не передается, превышает значение отклика детектора в канале, по которому сигнал передается.

Для симметричного ДКС с учетом сказанного получаем

$$P_{sh} = P(f|1) = P(f|0) = \int_0^{\infty} \int_0^{\infty} W_0(x) W_1(x) dx \cdot dU \quad (55)$$

Подстановка ФВБ из (49) или из (51) в (55) при когерентном приеме даст

$$P_{sh} = P_2 = 1 - \Phi(k), \quad (56)$$

и при некогерентном приеме

$$P_{sh} = P_2 = 0,5 \cdot \text{erfc} \left\{ -\frac{k}{\sqrt{2}} \right\} \quad (57)$$

При передаче сигналов ДЧМ (см. рис. 4е) символ 0 соответствует передаче сигнала с начальной фазой $-\pi/2$, а символ 1 - передаче сигнала с начальной фазой $+\pi/2$. В этом случае отклик когерентного (фазового) детектора будет иметь ФВБ вида (46). Выбрав фазу опорного напряжения равной $\varphi_0 = +\pi/2$, получаем

$$W_0(x) = \frac{1}{\sqrt{2\pi} \cdot \sigma_w} \cdot e^{-\frac{(x+U_0)^2}{2\sigma_w^2}}, \quad W_1(x) = \frac{1}{\sqrt{2\pi} \cdot \sigma_w} \cdot e^{-\frac{(x-U_0)^2}{2\sigma_w^2}} \quad (58)$$

Подставляя (58) в (48) и выдвигая $U_0 = 0$, для симметричного ДКС получаем

$$P_{sh} = P_2 = 1 - \Phi(\sqrt{2}k). \quad (59)$$

Оценим помехоустойчивость передачи двоичных сигналов при относительной фазовой модуляции, когда прием производится по методу сравнения фаз (52) и по методу сравнения поларностей (СП).

Ошибочный прием двоичного символа при ДЧМ - СП имеет место (см. рис. 6г), когда осуществляется одно из двух несовместных событий: 1) данный символ принят правильно, а предшествующий ошибочно; 2) данный элемент принят ошибочно, а предшествующий правильно. Вероятность появления какого-либо из этих двух несовместных событий есть P_{sh} при ДЧМ-СП:

$$P_{sh} = P_2 = 2 \cdot P_{sh} \cdot (1 - P_{sh}) = 2 \cdot \Phi(\sqrt{2}k) \cdot [1 - \Phi(\sqrt{2}k)] \quad (60)$$

Для приема сигнала ДФМ по методу сравнения фаз (см. рис. 6в) имеем

$$P_{\text{ош}} = P_2 = 0,5 \cdot \epsilon_{\text{Ф}} \left\{ -\lambda^2 \right\} \quad (61)$$

Скорость передачи информации по дискретному каналу связи определяется как количество взаимной информации $\Sigma(Y, X)$, переданной по ДКС в единицу времени:

$$R = \frac{1}{T} \cdot \Sigma(Y, X) = \frac{1}{T} \cdot (N_Y - N_{Y/X}), \quad (62)$$

где для двоичного ДКС $X = \{b_i\}$ двоичные символы (нули и единицы) на передаче, а $Y = \{b'_i\}$ соответственно, на приеме, N_Y - энтропия принятой последовательности двоичных единиц:

$$N_Y = - \sum_{i=0}^1 p(b'_i) \cdot \log_2 p(b'_i), \quad (63)$$

$N_{Y/X}$ - условная энтропия,

$$N_{Y/X} = - \sum_{i=0}^1 p(b'_i) \sum_{j=0}^1 p(b_j | b'_i) \cdot \log_2 p(b_j | b'_i). \quad (64)$$

Для двоичного симметричного ДКС, когда $p(b'_0 = 0 | b_0 = 1) = p_2 = p(b'_1 = 1 | b_1 = 0)$ и одинаковы аппроксимные вероятности передачи $p(0) = p(1)$, формула (62) с учетом (63) и (64) может быть представлена в виде

$$R_2 = \frac{1}{T} \cdot [1 + p_2 \cdot \log_2 p_2 + (1 - p_2) \cdot \log_2 (1 - p_2)]. \quad (65)$$

Так как вероятности ошибок $P_{\text{ош}} = p_2$ для различных видов сигналов зависят от ОШН $1/\epsilon_{\text{Ф}}$ на входе детектора, то и R_2 зависит от ОШН. Для сравнения скорости $R_2 = \psi(\epsilon_{\text{Ф}}^2)$ при данном виде модуляции и способе приема с пропускной способностью ДКС (скорость передачи информации при идеальном кодировании и модуляции) $C = \psi(1/\epsilon_{\text{Ф}}^2)$ (см. соотношение (42)) вводит показатель эффективности

$$\eta = R_2 / C. \quad (66)$$

32

Эффективность системы передачи высока, если $R_2 \rightarrow C, \eta \rightarrow 1$, эффективность низка при $\eta \rightarrow 0$.

3.7. Анализ характеристик и параметров цифро-аналогового преобразования сообщений

Цифро-аналоговое преобразование (ЦАП) позволяет на приемном конце системы связи восстановить непрерывное сообщение $\hat{A}(t)$ по принятым кодовым комбинациям $\{b'_m\}$ сигнала ИКМ. Это осуществляется с помощью следующих шагов (см. рис. 1): декодирование - восстановление дискретных L -ичных уровней \hat{x}_k по b'_m , интерполяция и низкочастотной фильтрации. Фильтр-интерpolator - это линейный фильтр с заданной импульсной реакцией $g_L(t)$. В современных ЦАП применяют ступенчатую интерполяцию с $g_L(t) = 1$ при $t \in [0, T]$ и $g_L(t) = 0$ при $t \notin [0, T]$. Это приводит к увеличению длительности импульсов \hat{x}_k с величиной T_0 до величины T . Последующий ФНЧ сглаживает непрерывно-дискретное сообщение $\hat{x}_k(t)$, в результате чего образуется $\hat{A}(t)$ (см. рис. 7в).

Ошибки в двоичном канале связи приводят к несомнению передаваемых и принятым кодовым комбинациям сигнала ИКМ (см. рис. 7 а, б). На рис. 7в показана реализация последовательности импульсов ошибок, воспринимаемая как $e = b'_0 + b'_1$. Причем $e = 0$ при $b'_0 = b'_1$ и $e = 1$ при $b'_0 \neq b'_1$. В декодере ЦАП двоичные ошибки в той или иной позиции кодовой комбинации приводят к несоответствию передаваемых \hat{x}_k и восстанавливаемых \hat{x}'_k L -ичных уровней (см. рис. 7д). Разность $\epsilon_k = \hat{x}_k - \hat{x}'_k$ называют шумом передачи. Реализация этого шума на выходе декодера (импульсы длительностью T_0) и на выходе интерполлятора (импульсы длительностью T) приведена на рис. 7д.

Для определения скорости передачи информации R_L по L -ичному ДКС воспользуемся соотношением, аналогичным (62):

$$R_L = \frac{1}{T} \cdot (N_Y - N_{Y/X}).$$

Однако, здесь X и Y - это L -ичные уровни на входе и выходе L -ичного ДКС. Используя выражения (63) и (64), но с учетом L -ичных уровней, и подставляя их в выражение для R_L , получаем

$$R_L = \frac{1}{T} \sum_{i=0}^{L-1} \sum_{j=0}^{L-1} p(x_i^L | x_j^L) \log_2 \frac{p(x_i^L | x_j^L)}{p(x_i^L) \cdot p(x_j^L)}, \quad (67)$$

33

32

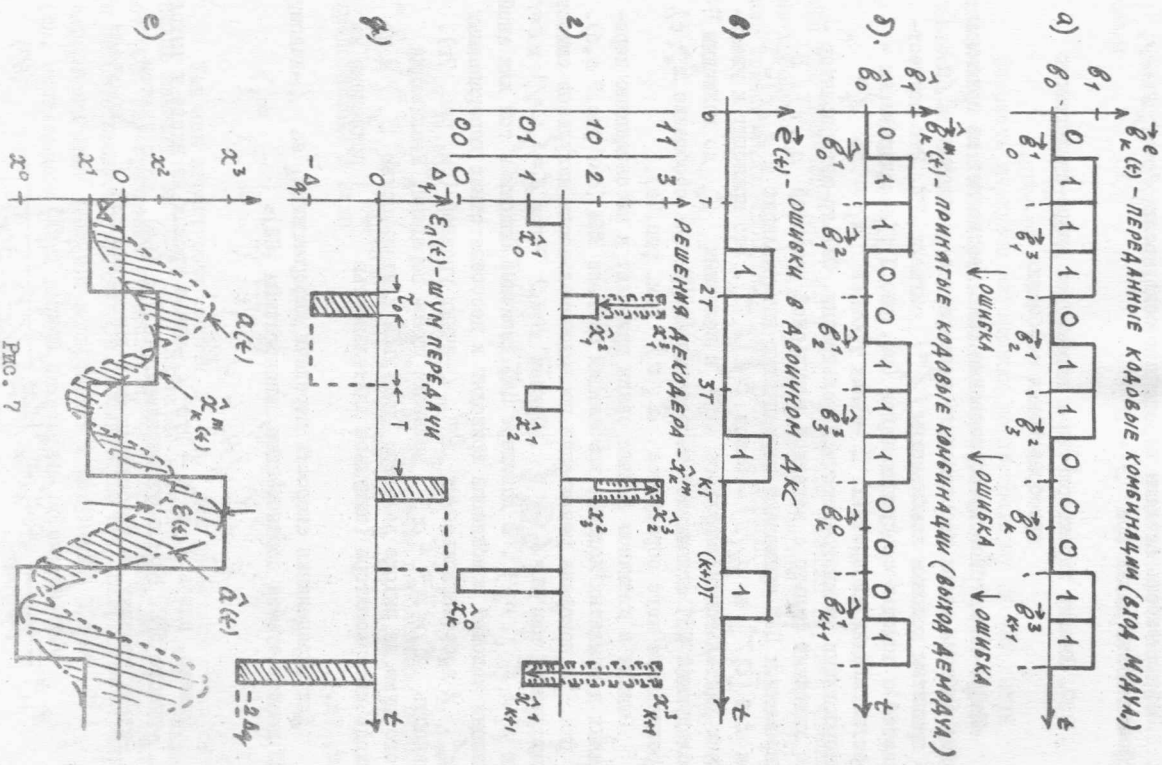


Рис. 7

где $P(x_k^e, x_k^m) = P(x_k^e) \cdot P(x_k^m / x_k^e) = P_e \cdot P_m = P(e, m)$ - вероятность совместного наступления событий: x_k^e на передаче и x_k^m на приеме; $P_e, e = 0, L-1$, - распределение вероятностей, определяемое из соотношения (17); $P_m, m = 0, L-1$, - элемент матрицы переходных вероятностей L -ичного ДКС, которые определяются так:

$$P_m = P(x_k^m / x_k^e) = P_e^{d_{em}} \cdot (1 - P_e)^{L - d_{em}}, \quad e, m = 0, L-1, \quad (68)$$

где L - значность кода $L = \log_2 L$; d_{em} - кодовое расстояние между e -ой и m -ой кодовыми комбинациями; P_e - вероятность ошибки в двоичном симметричном ДКС $P_e = P_{01} = P_{10}$ - вероятность правильного приема двоичного символа $P_{pp} = (1 - P_e)$.
В соответствии (67) распределение вероятностей принятых L -ичных уровней определяется так:

$$P_m = P(x_k^m) = \sum_{e=0}^{L-1} P(x_k^e, x_k^m) = \sum_{e=0}^{L-1} P_e \cdot P_m, \quad m = 0, L-1. \quad (69)$$

Величина относительных потерь в скорости передачи информации по L -ичному ДКС равна

$$\delta_q^e = \frac{N - K}{N} = 1 - \frac{K}{N}, \quad (70)$$

где N - пропускная способность L -ичного источника.

Оценим среднюю квадратическую погрешность (СКП) $\overline{\epsilon_k^2}$ шума передачи в L -ичном ДКС (см. рис. 7д). Пусть в L -ичном ДКС был передан импульс x_k^e , который на основании (17) равен $x_k^e = -0.5 \Delta q (k-1) + \Delta q$. Под действием помех он может перейти в импульс

$$x_k^m = -0.5 \Delta q (L-1) + m \Delta q.$$

Тогда шум передачи $\epsilon_k = x_k^m - x_k^e$ может быть представлен в виде поделователности некоррелированных прямоугольных импульсов с нулевым математическим ожиданием и со случайно распределенными амплитудами. На выходе интерполлятора длительность этих импульсов равна T .
Спектр плотности мощности шума передачи

$$G_n(\omega) = 2 \cdot T \cdot G_n^e \cdot \left(\frac{\sin \omega T}{2} \right)^2, \quad (71)$$

где σ_n^2 - дисперсия (мощность) случайных амплитуд импульсов, равная

$$\sigma_n^2 = M \{ \varepsilon_n^2 \} = M \left\{ \Delta_2^2 \sum_{z=0}^{L-1} \sum_{m=0}^{L-1} \rho_z \cdot \rho_m (\pi - z)^2 \right\} \quad (72)$$

Подставив ФНЧ на выходе АПЧ идеальным с полосой пропускания Δf_2 , найдем СКП шума передачи путем интегрирования (71):

$$\overline{\varepsilon_n^2} = \int_0^{\Delta f_2} \int_0^{\Delta f_2} G_n(f) \cdot d f = \frac{L \cdot \sigma_n^2}{\pi} \left[\text{Si}(\pi x) - \frac{x^2}{2} \right] \quad (73)$$

Здесь интегральный синус определяется так:

$$\text{Si}(x) = \int_0^x \frac{\sin \alpha}{\alpha} \cdot d \alpha$$

Выражение (72) для дисперсии σ_n^2 амплитуд можно упростить, если истинные вероятности ошибок $\rho_{z,m}$ заменить усредненной величиной вероятности ошибки:

$$\overline{\rho_{z,m}} = \frac{1}{L-1} \sum_{z \neq k}^{L-1} \rho_{z,k} = \frac{1}{L-1} \cdot \left[1 - (1 - \rho_e)^2 \right] \quad (74)$$

Тогда после ряда преобразований получаем:

$$\sigma_n^2 = \frac{L \cdot \Delta_2^2}{L-1} \left[\frac{1 - (1 - \rho_e)^{2(L-1)}}{2(L-1)} \right] \cdot \sum_{z=0}^{L-2} (L-z-1)^2 \rho_e \quad (75)$$

где F_z , $L = L-1$ - интегральный закон распределения вероятностей, определенный из (18).

Подставляя (75) или (72) в (73), определяют СКП шума передачи.

Ввиду того, что погрешность фильтрации ε_p , шум квантования ε_q и шум передачи ε_n независимы друг от друга, то суммарная СКП восстановленного непрерывного сообщения $\sigma(t)$ будет равна сумме СКП указанных процессов:

$$\sigma_{\Sigma}^2 = \sigma_p^2 + \sigma_q^2 + \sigma_n^2$$

Относительная суммарная СКП восстановленного сообщения равна

$$\delta_{\Sigma}^2 = \frac{\sigma_{\Sigma}^2}{\sigma_{\Sigma}^2} / \sigma_{\Sigma}^2 \quad (76)$$

Величина, обратная δ_{Σ}^2 , есть отношение сигнал-шум, обеспечиваемое системой передачи непрерывного сообщения.

ДОМАШНЕЕ ЗАДАНИЕ

И методические рекомендации по самостоятельной работе для его выполнения

по курсу

ТЕОРИЯ ЭЛЕКТРИЧЕСКОЙ СВЯЗИ

Редактор Г. В. Курьянчик
Корректор М. Д. Кутянова

Подписано в печать 24.07.89 г. Формат 60x84/16. Печать офсетная.
Объем 2,0 усл. л. л. Тираж 2000 экз. Изд. № 159. Заказ 536. Бесплатно.

Типография ИИС. Москва, ул. Авиамоторная, 8.